

多層地盤の振動の剛性マトリックスによる解法
- 大阪南港大橋架橋地盤の多層地盤の振動解析 -

北海道大学工学部 正員 渡辺 昇
北海道大学工学部 正員 金子 孝吉
北海道大学工学部 学生員 ○馬場 敏美

1. まえがき

地盤の振動を解析する方法としては地盤を等価なバネ系モデルに置換する方法、あるいは波動理論による方法有限要素法を適用する方法などがこれまで考えられてきているが、本解析は地盤を柱状のせん断連続体の片持梁に置換して考え、さらにせん断連続体の振動の剛性マトリックスなるものを説明して、これを多層地盤の振動の解析に応用するものである。地盤を連続体として解析する場合、固有振動方程式は多層になればなるほど複雑な超越方程式となるが、本手法を用いると何層になっても簡単に剛性マトリックスの重ねあわせで固有振動数を求めることができ、電子計算機プログラム作成の上でも非常に有効である。減衰については相対速度に比例する減衰係数を使用したものと、さらに粘弾性(Voigt Model)を考慮したものとについて考えた。そして実際に観測された地中地震動記録と比較検討を行なった。

2. 連続体のせん断振動の微分方程式とその解

(i) 相対速度に比例する粘性減衰係数を持つ場合

連続体のせん断振動(自由振動)の微分方程式は(1)式で表わされる。(Fig1, Fig2)

$$\rho \frac{\partial^2 u(z,t)}{\partial t^2} + c \frac{\partial u(z,t)}{\partial t} - G \frac{\partial^2 u(z,t)}{\partial z^2} = 0 \quad \dots \dots \dots (1)$$

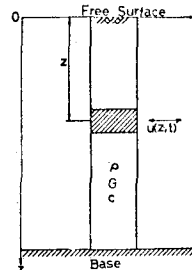


Fig.-1

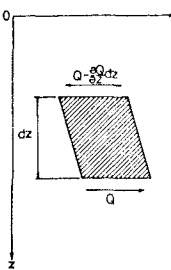


Fig.-2

ただし ρ ; 単位重量密度 ($\text{kg} \cdot \text{sec}^2/\text{cm}^4$)、 c ; 粘性減衰係数 ($\text{kg} \cdot \text{sec}/(\text{cm}^4)$)、 G ; せん断弾性係数 (kg/cm^2)、 $u(z,t)$; 深度 z における時刻 t の水平 x 方向の相対変位 (cm) である。式(1)の解として次のようなものを得る。

$$u(z,t) = Z(z) \cdot T(t) \quad \dots \dots \dots (2)$$

(2)式を適当に微分して(1)式に代入し $\rho Z(z) \cdot T(t)$ で割って次式のように $-p^2$ とおく。

$$\frac{\dot{T}(t)}{T(t)} + 2hp \frac{\dot{T}(t)}{T(t)} = a^2 \frac{Z''(z)}{Z(z)} = -p^2 \quad \dots \dots \dots (3)$$

ここで $a^2 = \rho/G$ 、 $2hp = c/\rho$ 、 $h = c/2\rho p$ でありドットは t についての微分、ダッシュは z についての微分を表わす。すると次の2つの式に分離できる。

$$Z''(z) + a^2 p^2 Z(z) = 0 \quad \dots \dots \dots (4) \qquad \dot{T}(t) + 2hp \dot{T}(t) + p^2 T(t) = 0 \quad \dots \dots \dots (5)$$

(ii) 粘弾性体(Voigt Model)とした場合

連続体のせん断振動(自由振動)の微分方程式は(6)式で表わされる。

$$\rho \frac{\partial^2 u(z,t)}{\partial t^2} - c \frac{\partial^3 u(z,t)}{\partial t \partial z^2} - G \frac{\partial^2 u(z,t)}{\partial z^2} = 0 \quad \dots \dots \dots (6)$$

(i)と同様に式(6)の解として(2)式のようなものをとる。さらに(7)式のようになる。

$$\frac{G Z''}{\rho Z} - \frac{\dot{T}/T}{(c/G)\dot{T}/T + 1} = -p^2 \quad \dots \dots \dots (7)$$

ここで $\alpha^2 = P/G$, $2hp = P^2c/G$, $h = cp/2G$ とおくと(1)の場合と同じ形の式(4), (5)に分離できる。

3. 連続体のせん断振動の剛性マトリックスと積分定数マトリックス
 (4)式の一般解は次のようになる。

ここでA,Bは定数である。任意の深さzにおけるせん断応力Qは次のようになる。

$$Q(z) = G \Sigma'(z) = G(-A \omega \sin \omega z + B \omega \cos \omega z) \quad \dots \dots \dots (9)$$

ここで \bar{z} , \bar{Q} の符号はFig-3に示すものを正とする。(8)式, (9)式において $\bar{z}=0$, $\bar{x}=l$ とし, それを俠マトリックス表示すると(10)式, (11)式のようになる。

$$\begin{bmatrix} Z(0) \\ Q(0) \end{bmatrix} = \begin{bmatrix} 1 & 0 \\ 0 & \text{Gap} \end{bmatrix} \begin{bmatrix} A \\ B \end{bmatrix} \quad \dots \dots \dots \quad (10)$$

(10)式, (11)式を変形して次のように表わしたものはそれぞれ等しいから(14)式のようく表わさね。

$$\begin{bmatrix} A \\ B \end{bmatrix} = \begin{bmatrix} 1 & 0 \\ 0 & 1/\text{Gap} \end{bmatrix} \begin{bmatrix} Z(0) \\ Q(0) \end{bmatrix} \quad \dots \quad (12)$$

$$\begin{bmatrix} 1 & 0 \\ 0 & 1/\text{Gap} \end{bmatrix} \begin{bmatrix} Z(0) \\ Q(0) \end{bmatrix} = \begin{bmatrix} \cos \alpha p\ell & -\sin \alpha p\ell / \text{Gap} \\ \sin \alpha p\ell & \cos \alpha p\ell / \text{Gap} \end{bmatrix} \begin{bmatrix} Z(\ell) \\ Q(\ell) \end{bmatrix} \quad \dots \quad (14)$$

(14) 式を書き直すと(15)式のようになる。

$$\begin{bmatrix} 1 & -\cos\alpha_l \\ 0 & -\sin\alpha_l \end{bmatrix} \begin{bmatrix} Z(0) \\ Z(l) \end{bmatrix} = \begin{bmatrix} 0 & -\sin\alpha_l/\text{Gap} \\ -1/\text{Gap} & \cos\alpha_l/\text{Gap} \end{bmatrix} \begin{bmatrix} Q(0) \\ Q(l) \end{bmatrix} \quad \dots \quad (15)$$

さうに(15)式を変形すると(16)式のようになる。

$$\begin{bmatrix} Q(0) \\ Q(1) \end{bmatrix} = \begin{bmatrix} -\text{Gap}\cdot\cos\alpha/\sin\alpha & \text{Gap}/\sin\alpha \\ -\text{Gap}/\sin\alpha & \text{Gap}\cos\alpha/\sin\alpha \end{bmatrix} \begin{bmatrix} Z(0) \\ Z(1) \end{bmatrix} \quad \dots \quad (16)$$

Fig-4において上端 $z=0$ ……①, 下端 $z=l$ ……②のように番号をつける, Qの符号はFig-4のようなものを正とする。すると(16)式において対応する要素の符号が変わり(17)式のようになる。

$$\begin{bmatrix} Q_1 \\ Q_2 \end{bmatrix} = \begin{bmatrix} \text{Gap}/\tan apl & -\text{Gap}/\sin apl \\ -\text{Gap}/\sin apl & \text{Gap}/\tan apl \end{bmatrix} \begin{bmatrix} Z_1 \\ Z_2 \end{bmatrix} \quad \dots \quad (17)$$

(17) 式の右辺の係数マトリックスを "連続体のせん断振動の剛性マトリックス" と呼ぶことにする。また(10)式、(11)式から $Z_{(0)}$, $Z_{(1)}$ をマトリックス表示すると次のようになる。

$$\begin{bmatrix} Z(0) \\ Z(\omega) \end{bmatrix} = \begin{bmatrix} 1 & 0 \\ \cos \alpha p & \sin \alpha p \end{bmatrix} \begin{bmatrix} A \\ B \end{bmatrix} \quad \dots \dots \dots \quad (18)$$

さらに(18)式を変形して $Z_1(0)=Z_1$, $Z_1(l)=Z_2$ と書き直すと

$$\begin{bmatrix} A \\ B \end{bmatrix} = \begin{bmatrix} 1 & 0 \\ -1/\tan\alpha l & 1/\sin\alpha l \end{bmatrix} \begin{bmatrix} Z_1 \\ Z_2 \end{bmatrix} \quad \dots \quad (19)$$

となる。 (19) 式の右辺の係数マトリックスを“連續体のせん断振動の積分定数マトリックス”と呼ぶことにする。以上の結果をまとめた記号で表わすと右のようになる。

次に(5)式において基盤からの強制外力を考える、右辺は $\ddot{g}(t)$ となる。ここで第九次について考えると(20)式のようになる。

$$\ddot{T}_n(t) + 2\eta \omega_n \cdot \dot{T}_n(t) + \omega_n^2 \cdot T_n(t) = -R_{mn} \ddot{g}(t) \quad \dots \dots \dots (20)$$

ここで R_{mn} は固有モード型によって 1 を級数展開した時の係数である。(20) 式はラプラス変換などを使って解くことができる。

$$\begin{bmatrix} Q_1 \\ Q_2 \end{bmatrix} = \begin{bmatrix} K_{11} & K_{12} \\ K_{21} & K_{22} \end{bmatrix} \begin{bmatrix} Z_1 \\ Z_2 \end{bmatrix} \quad \begin{bmatrix} A \\ B \end{bmatrix} = \begin{bmatrix} R_{11} & R_{12} \\ R_{21} & R_{22} \end{bmatrix} \begin{bmatrix} Z_1 \\ Z_2 \end{bmatrix}$$

$$K_{11} = \text{Gap}/\tan \alpha p$$

$$K_{12} = -\text{Gap}/\sin \alpha p$$

$$K_{22} = K_{11}, K_{21} = K_{12}$$

$$R_{11}=1, R_{12}=0$$

$$R_{21}=-1/\tan \alpha p_l$$

$$R_{22}=1/\sin \alpha p_l$$

4. 3層地盤の地震応答解析例

ここで比較の対象とした地中地盤動の記録は建設省が大阪市南港埋立地(Fig-5)において観測したものである。Fig-6はその地盤の土質状況である。地盤をFig-7のように3層に分け、図中のごとく各地盤層の諸定数を決定して、地中80m以下を基盤とみなした。

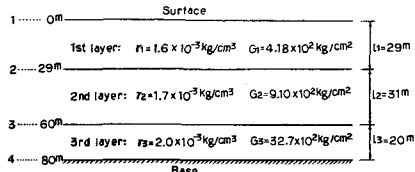
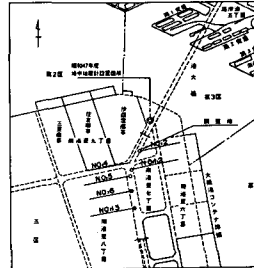


Fig-7

Table-1は1次から14次までの各固有振動数及び固有周期を示している。Fig-8は地表面の変位を1としたときの1次から6次までの各固有振動モード型である。また、Fig-9, Fig-10はそれぞれ2で述べた(i)のType, (ii)のTypeの応答波を示している。上から相対変位、相対速度、絶対加速度応答でそれぞれ20mおきに示してある。

n	1	2	3	4	5	6	7
ω_n	5.20820	13.11709	22.66633	23.67891	35.28934	45.37042	55.74715
T _{mode}	1.20640	0.47904	0.37777	0.37111	0.34515	0.32744	0.31771
ω_n	65.75132	74.14094	81.01533	80.99822	97.63161	105.58778	114.56230
T _{mode}	0.09895	0.08475	0.07680	0.06905	0.06436	0.05836	0.05485

Table-1



大阪市南港埋立地

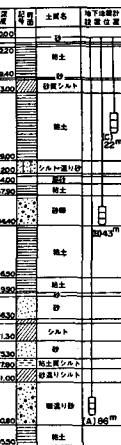


Fig-6

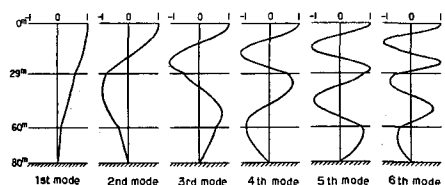


Fig-8

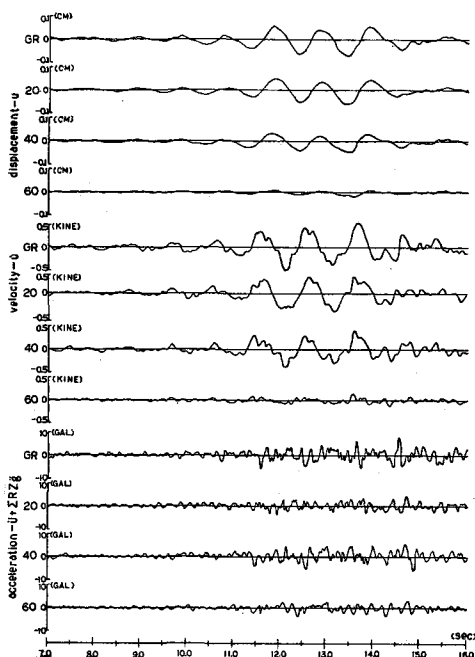


Fig-9

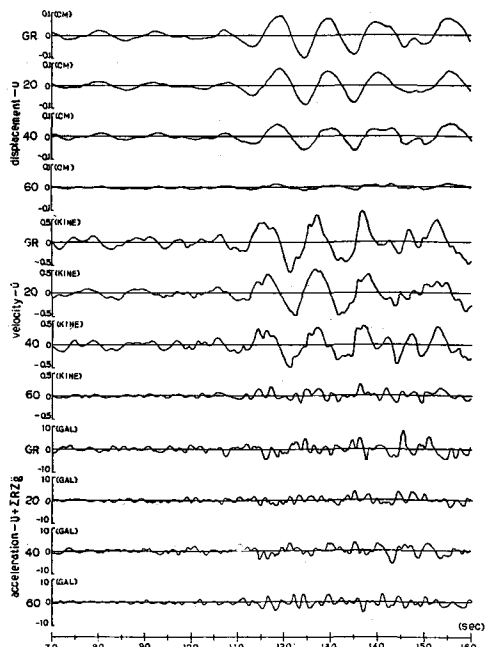


Fig-10

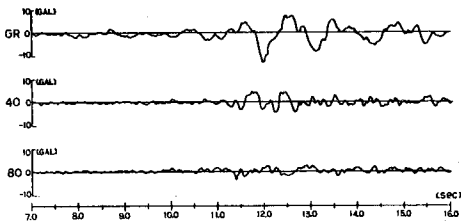


Fig-11

Fig-11は地表面、地下40m、80mでそれを実際観測された加速度である。本解析例では80mの地表の加速度を基盤入力波とした。

次にFig-9, Fig-10のような数値計算によって出した応答波とFig-11に示した実際の観測波との比較を行った。ここでは周期に注目して検討してみた。Fig-12aはFig-11の地表面の観測波の自己相関関数とそれをフーリエ変換したパワースペクトル密度を示している。bはFig-11の40mのものである。同様にFig-13はFig-9の地表面と40mの地表の応答加速度のa.c.fとp.s.dであり、Fig-14はFig-10の地表面と40mの地表の加速度のa.c.fとp.s.dである。Fig-12aをみると地表面での観測波の卓越している周期は1秒前後である。Fig-13, Fig-14をみると計算した応答波では短い周期のものもあらわれているが1秒前後の周期がよく選択されているのがわかる。

5. あとがき

本解析法は複雑な多層地盤の地震応答解析を簡便に行なうことが可能で地震工学的には十分实用性を有するものと思われる。

[参考文献]

- 1) 金子孝吉；土木学会論文報告集 No.207, 1972-11, P13
- 2) 土木研究所振動研究室；土木研究所資料 No.1103, 1976-3

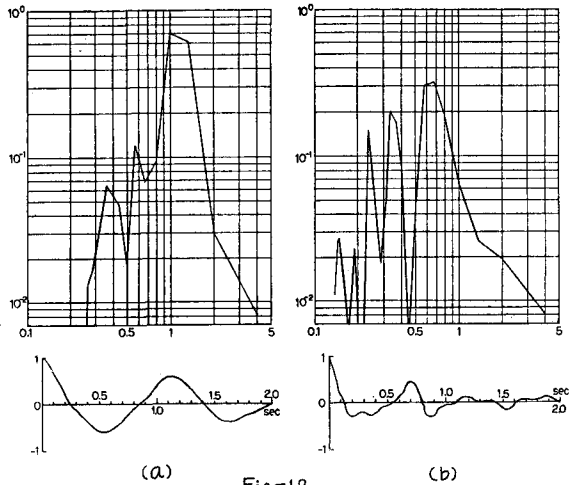


Fig-12

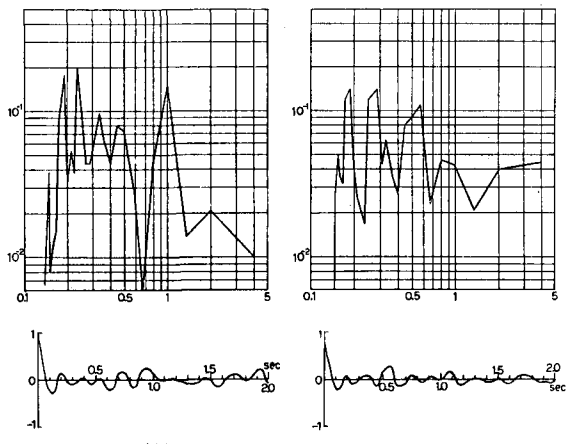


Fig-13

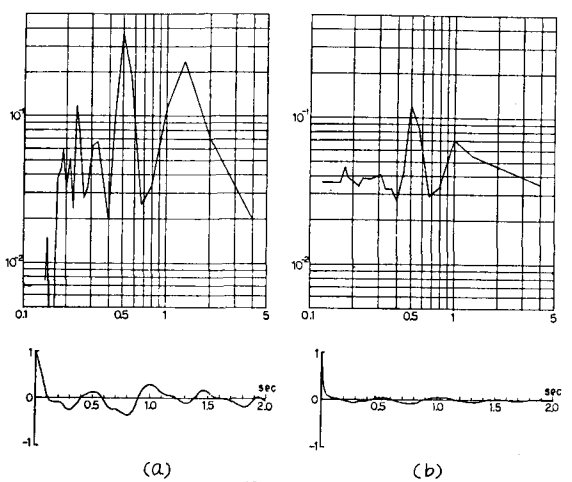


Fig-14